

〈연구논문(학술)〉

어성초 추출물을 이용한 면과 견직물의 항미생물성 염색

김성진 · 김병진 · 김은지 · 정희선 · 장진호[†]

금오공과대학교 소재디자인공학과

Antimicrobial Dyeing of Cotton and Silk Fabrics Using Houttuynia cordata Extract

Sung-Jin Kim, Byoung-Jin Kim, Eun-Ji Kim, Hee-Seon Jung and Jinho Jang[†]

Department of Materials Design Engineering, Kumoh National Institute of Technology, Gumi, Korea

(Received: May 9, 2015 / Revised: June 11, 2015 / Accepted: August 7, 2015)

Abstract: Cotton and silk fabrics were dyed with *Houttuynia cordata* extract using aqueous ethanol solution and the dyeing and post-treatment conditions were optimized to impart antimicrobial activity to the fabrics. The dried *Houttuynia cordata* can be extracted at 80°C for 3 hours using an aqueous ethanol solution containing 70%(w/w) ethanol. For the highest color yields. Both cotton and silk fabrics can be dyed at 100°C for 60min with 10g/L of NaCl under pH 4. Silk fabrics can be dyed to higher K/S than cotton fabrics. The color fastness properties of the dyed fabrics were good when either citric acid crosslinking or aluminum alum mordanting was carried out as a post treatment. The dyed silk and cotton fabrics with the post treatments showed excellent antimicrobial activity against both *Staphylococcus aureus* and *Klebsiella pneumoniae*.

Keywords: *Houttuynia cordata*, extraction, dyeability, fastness, antimicrobial activity

1. 서 론

최근 건강한 사회와 지속가능한 환경을 고려한 섬유제품 생산과 사용을 중요시하는 라이프스타일에 따라 인류의 건강한 의생활을 영위하기 위한 친환경 염색가공 기술 및 기능성 섬유제품 개발이 요구되고 있다. 또한 인체 유해성에 대한 의문이 계속 제기되는 합성염료에 대한 대안으로서 다양한 인체친화적인 천연 염색 재료 개발에 관심이 지속되고 있다.

기존 쪽, 감, 홍화 등 전통적인 염재 뿐 아니라, 오징어 먹물¹⁾, 웃²⁾, 제주 송이³⁾, 모과 열매⁴⁾, 감즙⁵⁾, 오미자⁶⁾ 등 다양한 신규 천연 재료자체나 추출물을 활용하여 염색함으로써 다양한 동물·식물·광물성 색소 재료의 항미생물성, 아토피 대

응성, 소취성, 자외선 차단성, 항산화, 항노화 등 기능성을 천연염색과 동시에 섬유 소재에 도입하고 있다. 따라서 다양한 천연재료를 이용한 친환경 천연염색 공정은 섬유재료에 특정 색상을 부여할 뿐 아니라 색상이외 천연재료의 다양한 기능성을 함께 부여할 수 있는 가공공정으로서 그 중요성이 부각되고 있다.

약용 식물 중 하나인 어성초(*Houttuynia cordata*)는 약모밀이라고도 하며 세계적으로 중국, 일본, 히말라야, 자바 등에 분포하고 국내의 경우 중부 및 남부 지방, 제주도 등에 자생한다. 6~7월에 개화하여 10월경에 수확하고, 잎과 줄기에서 ‘생선 비린내가 난다’ 하여 어성초라 불리며, 이뇨, 진통, 탈모방지 등의 다양한 약리작용이 있는 생리활성물질을 함유하여 전통적인 생약제로 이용되어 왔고 최근 비누, 화장품 등 피부보호 관련 제품에 많이 사용되고 있다.

중국 『본초강목』에 어성초가 중금속의 독을 해독하는 작용이 있음을 기록되어 있고, 『영남 체역

[†]Corresponding author: Jinho Jang (jh.jang@kumoh.ac.kr)
© 2015 The Korean Society of Dyers and Finishers.
All rights reserved. TCF 27-3/2015-9/194-201

록』에도 어성초가 농소독 효과가 있다고 한다.『중국 약식물 도감』에도 역시 어성초의 해독력이 언급되고 있다.

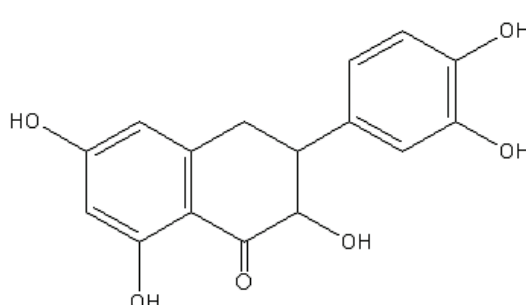
어성초의 관련 연구 동향을 보면 어성초의 성분 중 하나인 quercetin의 항피부암 효과⁷⁾, 발효 어성초액의 항염증 효과^{8,9)}, 카드뮴에 의한 세포독성 억제 효과¹⁰⁾, 항헤르페스 바이러스작용^{11,12)}, 등에 대한 많은 연구들이 진행되고 있다. 또한 아임계수 어성초 추출물의 항산화 활성 및 Acetylcholinesterase 저해 활성¹³⁾, 어성초 뿌리에서 추출한 순차분획물의 항균 활성¹⁴⁾, 어성초 추출물의 항산화 및 지질 과산화로 인한 신경세포 보호¹⁵⁾, 면역조절 및 항SARS (Severe acute respiratory syndrome) 활성¹⁶⁾ 등에 대한 보고가 있으나 어성초 추출물을 이용한 천연염색과 이를 통한 항균·방취성을 부여하는 기능성 섬유가공에 대한 연구는 부족하다고 볼 수 있다.

따라서 본 연구는 건조 어성초를 증류수와 에탄올을 용매로 사용하여 색소성분을 추출하기에 적절한 조건을 탐구하고 중성염 농도, pH, 염색온도, 시간, 염료 농도를 조절하여 견직물 및 면직물에 적합한 염색 조건을 찾았으며, 염색된 직물의 염색견뢰도를 향상시키기 위해 매염제와 시트르산가교¹⁷⁾ 처리하였고 염색 견뢰도와 향미생물성¹⁸⁾을 평가하였다.

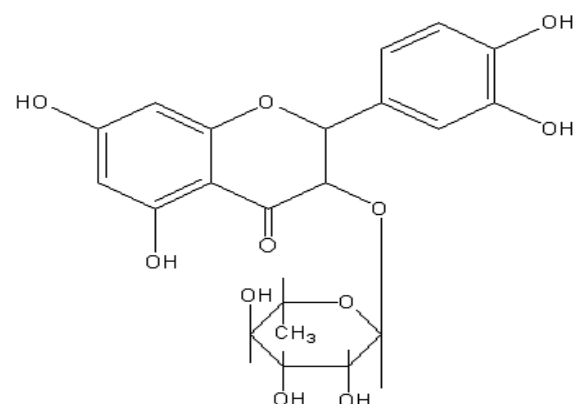
2. 실험

2.1 시료 및 시약

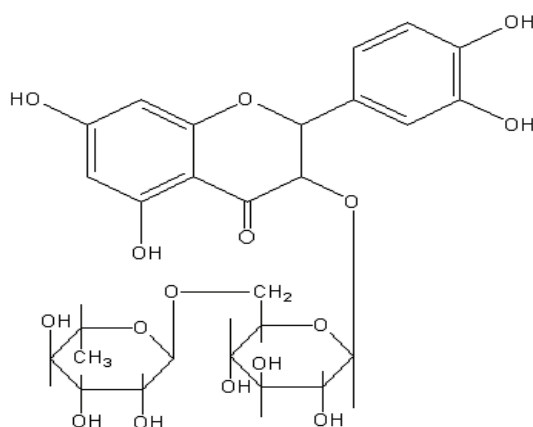
실험에서 사용된 직물은 주자직의 견직물(118g/m)과 평직의 80수 면직물(53g/m)을 솜베에서 구입하였으며, 염색용 어성초(Houttuynia cordata)는 대구



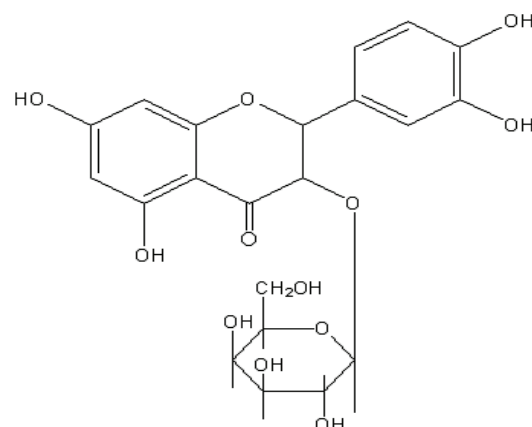
Quercetin



Quercitrin



Rutin



Hyperoside

Figure 1. Some ingredients of Houttuynia cordata extract.

미산농장의 어성초 건초를 구입 후 분쇄하였다. pH조절용 NaOH(1급)와 HCl(1급), 매염제인 명반 KAl(SO₄)₂·12H₂O, 중성염으로 NaCl(1급)을 사용하였다. 견뢰도 향상을 위한 가교제와 촉매로 citric acid(1급)과 NaH₂PO₄·2H₂O(1급)를 사용하였다.

2.2 실험방법

2.2.1 어성초 추출액의 제조

어성초 건초를 분쇄하고 색소를 추출하기 위한 용매로 에탄올과 증류수를 사용하였으며 용매, 시간 및 추출방법에 따라 UV-Vis 분광광도계(Agilent, US/8453, USA)를 이용하여 최대 흡수파장인 380nm에서 흡광도를 구하였고, 염료농도(5% o.w.f.), 액비 1:40, 100°C에서 60분간 염색한 후 K/S를 측정하여 적합한 추출 조건을 조사하였다. 추출한 어성초 추출액을 고온 건조하여 얻은 농축물을 KBr 펠렛으로 만들고 FT-IR 분광분석기(Bruker, Tensor 27, Germany)를 사용하여 적외선 스펙트럼을 얻었다.

2.2.2 추출액의 분말화 및 염색성 평가

어성초 추출액을 80°C이하에서 수 시간 동안 건조시켜 추출액의 분말을 제조하였다. 적외선 염색기(Daelim, DL-6000plus, Korea)를 이용하여 액비 1:40을 기준으로 염색하였으며 염농도, pH, 온도, 시간 및 염료농도를 변화시켜 최적 염색조건을 구하였다. 반사율 분광광도계(Gretag Macbeth, Colorey 3100)로 염색직물의 반사율을 측정하여 최대 흡수파장(380nm)에서의 반사율로부터 Kubelka-Munk식에 따라 K/S를 구하였다.

2.2.3 가교반응과 염색견뢰도

가교제인 citric acid에 대해 sodium dihydrogen phosphate dihydrate를 1몰비로 녹인 후, HCl 수용액으로 pH를 3으로 조절하였다. 가교제 용액에 견과 면직물을 10분간 침지시키고 80±5% pick-up으로 패딩하였다. 견직물의 경우 95°C에서 1분 30초간 건조하고 160°C에서 10분간 경화하였고, 면직물은 90°C에서 5분간 건조하고 190°C에서 2분간 경화하였다. 견뢰도를 확인하기 위해 염색 및 가교반응을 시킨 직물은 KS K ISO 105-C 06 : 2007 A1S) 조건으로 40°C에서 30분간 세탁한 후 표준회색색표를 이용하여 세탁견뢰도를 측정하였다. 세제는 Heal's ECE phosphate 표준세제

(B)를 사용하였다. 마찰견뢰도는 크로크미터법(KS K 0650: 2006)을 사용하였다. 또한 일광견뢰도는 Fade-o-meter(KS-115)를 사용하여 카본아크법(KS K 0700: 2008)에 준하여 측정하였다.

2.2.4 항미생물성 평가

미처리 직물과 어성초 추출물로 염색한 직물의 항미생물성 평가를 비교하기 위해 KS K 0693: 2011법에 의거 정균감소율을 조사하였다. 이 때 사용된 공시균은 *Staphylococcus aureus* ATCC 6538(황색포도상구균)과 *Klebsiella pneumoniae* A TCC 4352(폐렴간균)이고 구체적인 항미생물성 시험은 FITI시험연구원에 의뢰하여 평가하였다.

3. 결과 및 고찰

3.1 어성초의 추출과 분광분석

어성초에는 색소성분인 quercetin 뿐 아니라 quercitrin, hyperoside, rutin 등을 포함하고 있다¹⁹⁾. 추출시 수용성 색소뿐 아니라 기능성 물질을 포함하기 위해서 에탄올을 포함한 수용액을 추출 용매로 사용하였다. 분쇄한 어성초 건초를 에탄올 수용액으로 추출하였고, 견직물과 면직물에 염색한 후 염색성을 고려한 추출조건을 선택하였다. 순수한 물을 용매로 사용한 경우 쿼세틴에 의한 흡광도가 가장 높았지만, 염색 후 K/S값은 오히려 에탄올 70%에서 가장 높았다. 추출 온도의 경우 80°C까지는 증가하였고, 80°C에서 3시간 동안 용매를 갈지 않고 추출한 경우보다 1시간마다 용매를 갈아주는 방법이 더 우수하였지만 차이가 크지 않아 3시간동안 용매를 갈지 않고 추출하였다. 선택된 추출조건은 에탄올을 70%(w/w) 함유한 수용액을 용매로 하여 80°C에서 3시간동안 추출한 것이다.

Figure 2는 어성초 추출물의 UV-Vis 스펙트럼으로 물을 추출액으로 사용한 경우 330nm부근에서 강한 흡수가 보이고 에탄올을 추출액으로 사용한 경우 660nm에서 새로운 피크가 나타났다. 330nm 피크는 황색계열의 quercetin, rutin, hyperoside 등 플라보노이드계 색소인 quercetin의 단당 또는 이당 배당체가 상대적으로 많이 존재함을 알 수 있다²⁰⁾. 그리고 에탄올 추출물의 경우 상대적인 용해도 차이에 의해 quercetin이 더 많이 추출되었고²¹⁾, 430nm와 662nm에서의 최대 흡수파장을

갖는 chlorophyll a 등 엽록소가 일부 추출된 것으로 보인다.

Figure 3은 두 어성초 추출액의 건조분말에 대한 IR 스펙트럼으로 $3,406\text{cm}^{-1}$ 및 $1,375\text{cm}^{-1}$ 에서 페놀성 O-H의 신축 및 굽힘 진동이 보이고 1664cm^{-1} 에서 aryl ketone의 C=O 신축 진동 피크가 나타난 것으로 보아 주 색소 구조는 quercetin 계통인 것으로 사료된다²²⁾.

또한 $2,927\text{cm}^{-1}$ 와 $2,850\text{cm}^{-1}$ 에서 C-H 신축진동이 나타나고 1736cm^{-1} 에서 aldehyde성 C=O 신축 진동이 관찰되는 데 이는 quercitrin, rutin, hyperoside 등 quercetin 배당체의 단당류 분자 구조에 의한 것으로 추정된다. 에탄올만으로 추출한 경우 에탄올에 대한 용해도가 높은 quercetin이 상대적으로 더 많이 존재하고, 전체적으로 O-H 신축 및 굽힘 진동, C-C=O와 C-O 진동이 감소한 것으로 보아 배당체가 적게 추출된 것으로 보인다.

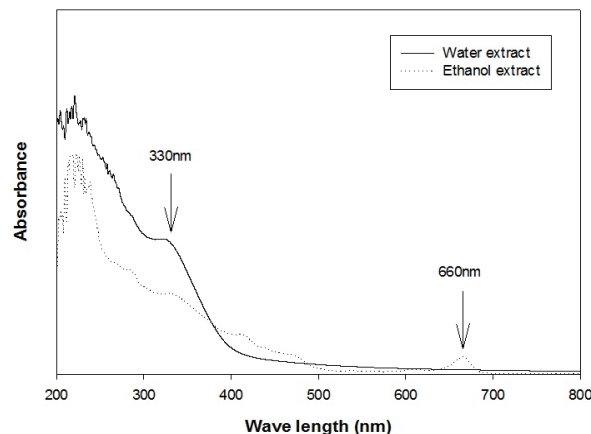


Figure 2. UV-Vis spectra of *Houttuynia cordata* extracts.

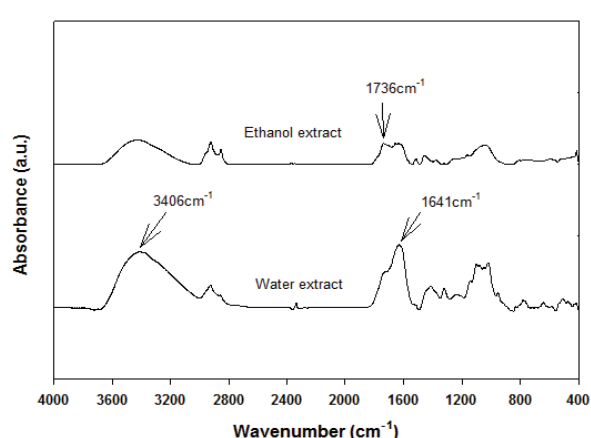


Figure 3. FT-IR spectra of *Houttuynia cordata* extracts.

3.2 염색 조건에 따른 염색성

어성초 추출물의 염색 시 염농도, pH, 온도, 시간 및 염료농도가 염색성에 미치는 영향을 알아보기 위하여 염료농도 20%owf, 온도 100°C에서 60분간 염색을 실시하였다. 어성초 추출물에 중성염인 NaCl을 20g/L까지 첨가하여 염색한 경우, NaCl농도 10g/L까지는 K/S값이 증가하다가 이후 K/S값의 변화가 미미하여 어성초 염색에 적절한 NaCl농도는 10g/L로 고정하였다(Figure 4).

어성초 추출물의 pH를 변화시켜 견직물과 면직물에 대한 염색성을 평가하였다(Figure 5).

견과 면직물 모두 pH 4에서 K/S값이 가장 높았다. 이것은 낮은 pH에서 양전하를 띠다가 pH가 증가함에 따라 전기적으로 중성화되어 음이온 성 색소와의 정전기적 상호작용으로 줄어들기 때문으로 사료된다. 상기 최적 중성염 농도와 pH에서 염색온도에 따른 견직물과 면직물에 대한 염색

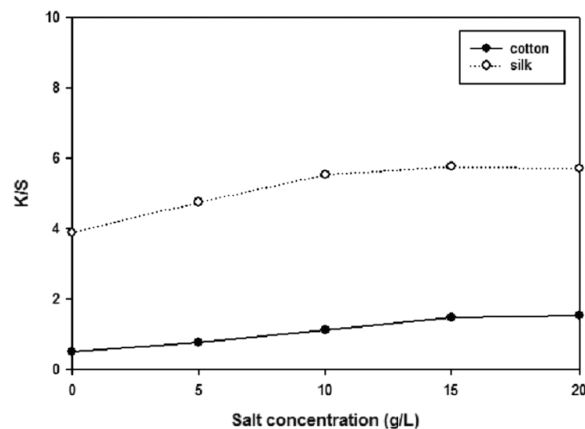


Figure 4. Effect of salt concentration on K/S values of dyed fabrics.

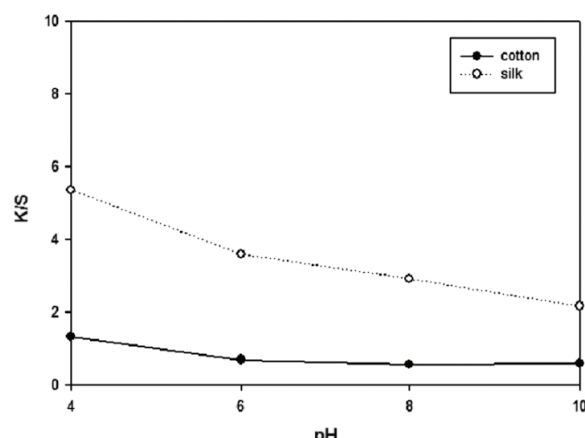


Figure 5. Effect of pH on K/S values of dyed fabrics.

Table 1. Effect of extract concentration on color properties of dyed cotton

Extract Concentration(%)	L*	a*	b*	C*	H*	△E
0	93.88	-1.02	2.60	2.80	111.36	-
5	85.77	-1.29	17.71	17.76	94.20	17.41
10	84.50	-0.83	18.38	18.40	92.62	18.69
20	78.62	0.29	19.60	19.61	89.12	23.53
30	74.54	1.61	19.18	19.25	85.17	26.46
40	69.63	1.90	18.45	18.55	84.09	30.16

성 변화를 알아보기 위해 60°C에서 120°C까지 변화시켜 염색한 경우 온도가 높을 수록 K/S값이 증가하였으나 120°C에서 염색한 경우 산 촉매 가수분해를 유발하여 직물 손상의 우려가 있어 최적 염색온도를 100°C로 판단하였다. 또한 염색시간에 따른 염색성의 경우 60분까지는 K/S가 급격히 증가하였으나, 90분 이상에서는 K/S값 증가가 미미하였다.

추출액 농도가 염색성에 미치는 영향을 알아보기 위해 염농도와 pH를 각각 10g/L와 pH 4로 고정하고 100°C에서 60분 동안 염색 시 추출액의 농도를 40%owf까지 변화시켰다(Figure 6). 두 섬유 모두 농도가 증가함에 따라 K/S값이 증가하였으나, 견섬유의 염색성 증가가 면섬유에 비해 더욱 현저하였다.

두 섬유 모두 추출액의 농도가 증가할 수록 L*과 H*값(Table 1과 Table 2)은 비례하여 감소하고, a*, b*, C*와 △E*값은 대체로 증가하였다. 면섬유의 경우 추출액 농도가 20%이상인 경우 b*와 C*값이 오히려 감소하였다²³⁾.

더 진하게 염색된 섬유의 경우 미염색포에 비해 점점 적색이 증가하지만 황색이 상대적으로 더 증가하였고, 20%로 염색된 면과 견 섬유의 경우 각각

밝은 회황색(5Y 8.5/2)과 밝은 황갈색(10YR 6/12)을 띤다고 볼 수 있다.

3.3 염색직물의 견뢰도 시험

염색견뢰도 평가는 추출액 농도 20%로 염색한 염색포(K/S(견): 5.49, K/S(면): 1.31)를 사용하여 평가하였다(Table 3). 후처리하지 않은 견과 면직물의 견뢰도의 경우 마찰 및 세탁(오염)견뢰도는 모두 4-5등급

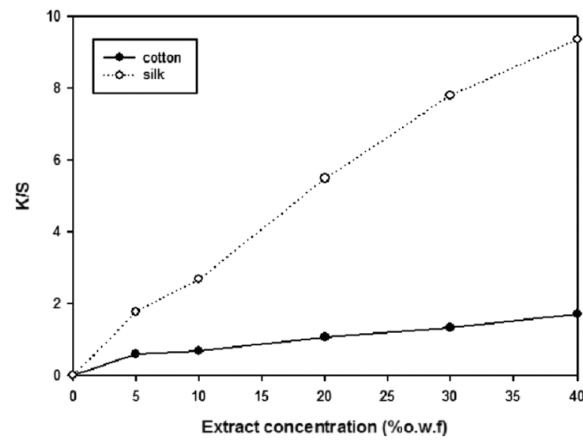


Figure 6. Effect of extract concentration on K/S values of dyed fabrics.

Table 2. Effect of extract concentration on color properties of dyed silk fabrics

Extract Concentration(%)	L*	a*	b*	C*	H*	△E
0	96.16	-0.98	1.83	2.08	118.27	-
5	71.38	1.91	21.96	22.04	85.01	32.06
10	66.24	2.70	22.34	22.50	83.07	36.46
20	55.53	3.70	23.46	23.75	81.01	46.27
30	50.66	4.63	24.36	24.80	79.20	51.09
40	47.57	5.20	24.13	24.68	77.80	53.82

Table 3. Color fastness of dyed silk and cotton fabric

	Shade	Laundering						Rubbing		Light	
		Stain						Dry	Wet		
		Wool	Acrylic	PET	Nylon	Cotton	Acetate				
Silk	Dyed	4	4-5	5	5	4-5	5	5	4-5	5	2-3
	Mordanted	4-5	4-5	5	5	4-5	5	5	5	5	4
	Crosslinked	4-5	5	5	5	5	5	5	5	5	4-5
Cotton	Dyed	3-4	5	5	4-5	5	5	5	5	5	2-3
	Mordanted	4-5	5	5	5	5	5	5	5	5	4
	Crosslinked	4-5	5	5	5	5	5	5	5	5	4-5

이상으로 매우 우수하나, 변퇴색 등급의 경우 각각 3-4등급과 4등급으로 약간 낮았다. 하지만 명반 후 매염이나 가교반응 후 모두 4-5등급으로 향상되었다. 일광견뢰도의 경우 후처리하지 않은 견과 면직물의 경우 모두 2-3등급으로 낮았지만 명반매염이나 가교한 경우 두 직물 모두 4등급이상으로 일광견뢰도가 상당히 증가하였다. 어성초 추출물 염색 시 높은 세탁견뢰도와 일광견뢰도가 요구되는 경우 매염과 가교처리가 필요할 것으로 판단된다.

3.4 어성초 염색 직물의 항미생물성 시험

어성초 추출물로 염색된 직물(염료농도 20% o/wf)의 항미생물성 시험 결과는 Table 4에 제시하였다. 면직물의 경우 *Staphylococcus aureus*과 *Klebsiella pneumoniae*에 대한 정균감소율이 모두 99.9%의 우수한 항미생물성을 보였으나, 염색된 직물의 경우 *Klebsiella pneumoniae*에 대해 상대적으로 낮은 정균감소율을 보였다.

하지만 명반매염이나 가교를 통해 두 공시균에 대해 99.9%이상의 정균감소율을 보였다. 따라서 매염이나 가교처리 된 어성초 염색은 견과 면직물에 항미생물성을 부여할 수 있다.

4. 결 론

건조 어성초를 에탄올 70%를 함유한 수용액을 용매로 사용하고 80°C에서 3시간동안 추출하였다. 적외선 분광분석을 통해 쿼세틴 등 플라보노이드색소가 포함되었음을 알 수 있었다. 면직물과 견직물 염색 시 pH 4에서 염농도 10g/L, 염료농도 20%owf로 100°C에서 60min이 어성초 염색에 적합한 염색조건으로 판단되고, 어성초 추출액으로 염색된 직물의 견뢰도는 마찰 및 세탁(오염)견뢰도는 우수하였고, 변퇴색 및 일광견뢰도가 상대적으로 낮았지만, 명반매염이나 시트르산가교를 통해 견뢰도를 향상시킬 수 있었다. 어성초 추출물로 염색된 면직물은 99.9%의 정균감

Table 4. Antimicrobial activity of dyed silk and cotton fabrics

	Fabric	<i>Staphylococcus aureus</i>	<i>Klebsiella pneumoniae</i>
Silk	Undyed	90.5	54.0
	Dyed	99.9	62.5
	Mordant	99.9	99.9
	Crosslinking	99.9	99.9
Cotton	Undyed	0	0
	Dyed	99.9	99.9
	Mordant	99.9	99.9
	Crosslinking	99.9	99.9

소율을 보여 우수한 항미생물성을 발현하였으나, 견직물의 경우 *Klebsiella pneumoniae*에 대한 정균감소율이 낮았는데 매염이나 가교처리에 의해 보완할 수 있었다. 따라서 어성초 추출물을 이용한 견과 면직물 염색을 우수한 색상견뢰도와 항미생물성을 보유하여 기능성 천연염색 섬유제품으로 적용할 수 있을 것으로 기대된다.

감사의 글

본 연구는 에너지기술개발사업 지원에 의해 수행된 연구결과입니다.

References

1. S. J. Kim and J. Jang, Vat Dyeing of Wool and Cotton Fabrics with Sephia Melanin, *Textile Coloration and Finishing*, **22**(2), 88(2010).
2. Y. J. Jang, Y. H. Choi, H. M. Lee, M. S. Tak, W. S. Lyoo, and J. Jang, Color Deepening and Antimicrobial Finish in the Dyeing of Cotton Fabrics Using *Rhus verniciflua* Extract, *Textile Coloration and Finishing*, **23**(1), 28(2011).
3. E. S. Im and H. S. Lee, A Study on Function of Natural Dyeing with Cotton Fabrics Using Jeju scoria, *Textile Coloration and Finishing*, **23**(3), 176 (2011).
4. K. Y. Nam and J. S. Lee, Dyeability and Functionality of *Chaenomelis Fructus* Extract, *J. Kor. Soc. Cloth. Ind.*, **14**(3), 478(2012).
5. M. W. Huh, Dyeability and Functionality of Cotton Fabrics Treated with Persimmon Juice, *Textile Coloration and Finishing*, **23**(4), 187(2011).
6. M. S. Kim, Y. J. Shin, and J. Jang, Antimicrobial Finish of Cotton and Silk Fabrics Dyed with *Schizandra chinensis* Fruit Extract, *J. Korean Fiber Society*, **50**(3), 1089(2013).
7. M. J. Jung, S. Y. Bu, K. H. Tak, J. E. Park, and E. J. Kim, Anticarcinogenic Effect of Quercetin by Inhibition of Insulin-like Growth Factor(IGF)-1 Signaling in Mouse Skin Cancer, *Nutrition Research and Practice*, **7**(6), 439(2013).
8. R. H. Kwon and B. J. Ha, Increased Flavonoid Compounds from Fermented *Houttuynia cordata* using Isolated Six of *Bacillus* from Traditionally Fermented *Houttuynia cordata*, *Toxicological Research*, **28**(2), 117(2012).
9. J. Y. Lee, Y. J. Lee, and W. S. Park, Anti-inflammatory Effect of Fermented *Houttuyniae Herba* Water Extract on LPS-induced Mouse Macrophage, *Korean J. Herbology*, **25**(3), 27(2010).
10. J. H. Lee, K. N. Lee, C. W. Lee, H. J. Chun, and I. S. You, The Inhibitory Effects of Quercitrin from *Houttuynia cordata* Against Cadmium Induced Cytotoxicity(VII), *J. Korean Chem. Soc.*, **47**(2), 176(2003).
11. Y. S. Kim, S. K. Eo, H. J. Kim, D. I. Lee, K. H. Kim, and S. S. Han, Antiherpetic Activities of Natural Quercitrin Alone and in Combinations with Nucleoside Antiherpetic Agents, *J. Applied Pharmacology*, **7**, 158(1999).
12. X. Chen, Z. Wang, Z. Yang, J. Wang, Y. Xu, R. Tan, and E. Li, *Houttuynia cordata* Blocks HSV Infection through Inhibition of NF-kB Activation, *Antiviral Research*, **92**, 341(2011).
13. E. K. Jo and S. C. Lee, Antioxidant and Acetylcholinesterase Inhibitory Activities of Subcritical Water Extracts from *Houttuynia cordata* Thunb, *J. Korean Soc. Food Sci. Nutr.*, **40**(10), 1391(2011).
14. J. H. Song, M. J. Kim, H. D. Kwon, and I. H. Park, Antimicrobial Activity of Fractional Extracts from *Houttuynia cordata* Root, *J. Korean Soc. Food Sci. Nutr.*, **32**(7), 1053(2003).
15. H. R. Jeong, J. H. Kwack, J. H. Kim, and G. N. Choi, Antioxidant and Neuronal Cell Protective Effects of an Extract of *Houttuynia cordata* Thunb, *Korean J. Food Preserv.*, **17**(5), 720(2010).
16. K. M. Lau, K. M. Lee, C. M. Koon, S. F. Cheung, and C. P. Lau, Immunomodulatory and Anti-SARS Activities of *Houttuynia cordata*, *J. Ethnopharmacology*, **118**, 79(2008).
17. Y. Tao, W. Bijia, L. Jian, C. Jiangang, and Y. Yiqi, Quantitative Analysis of Citric acid/sodium Hypophosphite Modified Cotton by HPLC and Conductometric Titration, *Carbohydrate Polymers*, **121**, 92(2015).
18. M. W. Huh and J. S. Bae, Dyeability and Functionality of Synthetic Fabrics Treated with Persimmon Juice, *Textile Coloration and Finishing*, **26**(2), 131(2014).

19. X. Xu, H. Ye, W. Wang, L. Yu, and G. Chen, Determination of Flavonoids in *Houttuynia cordata* Thunb and *Saururus chinensis*(Lour.) Bail By Capillary Electrophoresis with Electrochemical Detection, *Talanta*, **68**, 759(2006).
20. E. D. Rijke, P. Out, W. Niessen, F. Ariese, C. Gooijer, and U. Brinkman, Analytical Separation and Detection Methods for Flavonoids, *J. Chromatography A*, **1112**, 31(2006).
21. R. S. Razmara, A. Daneshfar, and R. Sahraei, Solubility of Quercetin in Water + Methanol and Water + Ethanol from(292.8 to 333.8)K, *J. Chem. Eng. Data*, **55**, 3934(2010).
22. A. Chourasiya, A. Upadhyay, and R. N. Shukla, To Assess Isolation of Quercetin from the Leaves of *Azadirachta Indica* and Antidiabetic Study of the Crude Extracts, *J. Pharmaceutical and Biomedical Science*, **25**(25), 179(2012).
23. S. H. Choi, Dyeability of Protein Fiber Treated with *Wisteria floribunda* Leaf Extract, *Textile Coloration and Finishing*, **26**(3), 254(2014).